

# ЯДЕРНАЯ СПИН-РЕШЕТОЧНАЯ РЕЛАКСАЦИЯ В МЕТАЛЛОКСИДНОЙ СИСТЕМЕ $\text{Na}_x\text{WO}_3$

*Е.Л.Вавилова, И.А.Гарифуллин, Н.Н.Гарифьянов, В.Ю.Марамзин,  
Г.Б.Тейтельбаум, Г.Г.Халиуллин*

*Казанский физико-технический институт КНЦ РАН  
420029 Казань, Россия*

Поступила в редакцию 5 августа 1993 г.

После переработки 13 сентября 1993 г.

Обнаружено качественно различное температурное поведение скорости спинорелаксации ядер натрия для образцов  $\text{Na}_x\text{WO}_3$  сверхпроводящего ( $x = 0, 2$ ) и несверхпроводящего ( $x = 0, 4$ ) составов. Эффект связывается с наличием антиферромагнитных корреляций в зоне проводимости образцов сверхпроводящего состава.

В результате исследований ВТСП-систем появилась необходимость переосмысления свойств ранее синтезированных сверхпроводящих оксидов, в частности, натрий-вольфрамовых бронз. Давние предположения (см., например [1]) о возникновении сверхпроводимости в бронзах вследствие решеточной неустойчивости пришли в противоречие с полученными недавно экспериментальными данными по измерениям ЭПР [2] и магнитной восприимчивости [3]. В работах [2,3] высказано предположение о том, что в натрий-вольфрамовых бронзах, как и в ВТСП-системах, антиферромагнитные флуктуации играют важную роль в возникновении сверхпроводимости. Поэтому естественным шагом в изучении этой системы является ЯМР-анализ, который в применении к ВТСП-системам показал себя исключительно чувствительным детектором магнитных флуктуаций. Так как в решетке исследованного соединения ионы натрия занимают две неэквивалентные позиции с симметричным и несимметричным окружением ионами вольфрама, то наличие двух типов релаксации позволило бы сделать однозначный вывод о характере магнитных корреляций в  $d$ -зоне вольфрама. В данной работе представлены предварительные результаты исследования спинорешеточной релаксации ядер  $^{23}\text{Na}$  на образцах  $\text{Na}_x\text{WO}_3$  сверхпроводящего ( $x = 0, 2$ ) и несверхпроводящего ( $x = 0, 4$ ) составов.

Образцы для исследований были приготовлены методом твердофазного синтеза [4], при котором вольфрамат натрия  $\text{Na}_2\text{WO}_4$ , трехокись вольфрама  $\text{WO}_3$  и мелкий порошок металлического вольфрама смешивались и тщательно перемешивались. Полученная смесь нагревалась при  $T = 800^\circ\text{C}$  в течение 48 час в инертной среде. Рентгенофазовый анализ полученных образцов показал, что они являются однофазными и имеют тетрагональную структуру с параметрами решетки  $a = b = 1,25 \text{ нм}$ ,  $c = 0,4 \text{ нм}$ . Измерения температуры сверхпроводящего перехода, проведенные методом высокочастотной магнитной восприимчивости, показали, что образец с  $x = 0,2$  имеет  $T_c = 2,5 \text{ K}$ , а в образце с  $x = 0,4$  никаких признаков сверхпроводимости обнаружено не было вплоть до  $1,3 \text{ K}$ .

Измерения скорости спин-решеточной релаксации проводились на ЯМР-спектрометре СХР-100 фирмы Брукер в диапазоне температур от 20 до 100 K на частоте 16,05 МГц. Образцы для измерений ЯМР представляли собой порошок, который был зафиксирован в парафине. Средний размер кристаллитов

не превышал 50 мк. Время спин-решеточной релаксации определялось методом стимулированного эха и по восстановлению сигнала спинового эха после трехимпульсной последовательности  $180^\circ - 90^\circ - 180^\circ$ . Зависимость амплитуды сигнала эха от времени раздвижки между импульсами для образца с  $x = 0,2$  при температуре 20 К представлена на рис.1. Эту зависимость не удается описать с помощью одноэкспоненциального закона. В то же время для обоих образцов при этой и других температурах экспериментальные результаты не плохо описываются суперпозицией двух экспонент с временами, существенно отличающимися друг от друга. При этом соотношение веса экспонент с коротким и длинным временем релаксации были соответственно близки к 2:1. На рис.2 представлена температурная зависимость полученных таким разделением скоростей релаксации  $T_1^{-1}$  быстрорелаксирующих центров для образцов с концентрацией натрия  $x = 0,2$  и  $x = 0,4$ . Для образца с  $x = 0,2$  скорость спин-решеточной релаксации возрастает с температурой в диапазоне от 20 до 40 К и при более высоких температурах практически не меняется. Для образца с  $x = 0,4$  при температурах более 25 К наблюдается монотонное увеличение скорости спин-решеточной релаксации  $T_1^{-1}$  вплоть до самых высоких температур. Скорость релаксации медленнорелаксирующих центров оказалась порядка  $1 \text{ c}^{-1}$  для обоих образцов. Измерения времени спин-спиновой релаксации  $T_2$  дали значения порядка 1 мс.

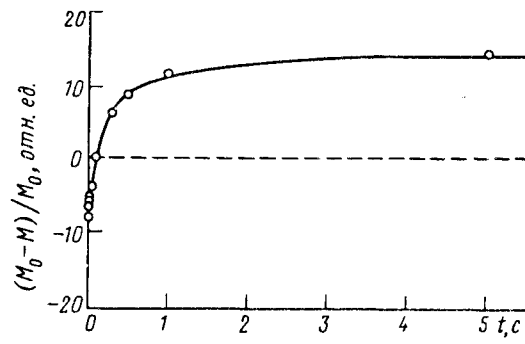


Рис.1. Изменение амплитуды сигнала эха в зависимости от времени раздвижки между импульсами для образца с  $x = 0,2$  при температуре 20 К. Сплошная линия соответствует двухэкспоненциальному закону:  $(M_0 - M)/M_0 = 14,8 - 15 \exp(-t/0,15) - 7,5 \exp(-t/1,3)$  (время указано в секундах)

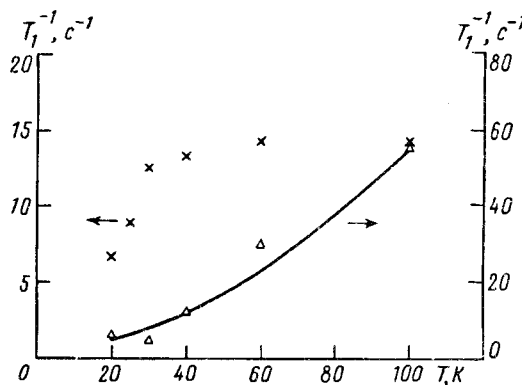


Рис.2. Зависимость скорости релаксации быстрорелаксирующих центров от температуры для образцов с  $x = 0,2$  ( $x$ ) и  $x = 0,4$  ( $\Delta$ ). Сплошная линия – расчет с модельной плотностью состояний (1)

В кристаллической решетке тетрагональной фазы натрий-вольфрамовой бронзы ионы натрия занимают две различные кристаллографические позиции [5] (см. рис.3). В первой из них они находятся в пятиугольных каналах, обра-

зованных кислородом, и имеют несимметричное окружение ионами вольфрама. Во второй позиции ионы натрия находятся в четырехугольных кислородных каналах и окружены ионами вольфрама симметричным образом. Соотношение числа возможных мест для ионов натрия в одном и другом каналах – 2:1. Это соотношение, а также соотношение весов экспонент, полученное при анализе временной зависимости амплитуды сигнала эхо, наводит на мысль, что короткие времена релаксации относятся к ядрам, находящимся в пятиугольном канале, а длинные – к ядрам, находящимся в четырехугольном канале. Возможность существования двух независимо релаксирующих ядерных систем обеспечивается, по-видимому, довольно длинными временами релаксации  $T_2$  в исследуемом соединении.

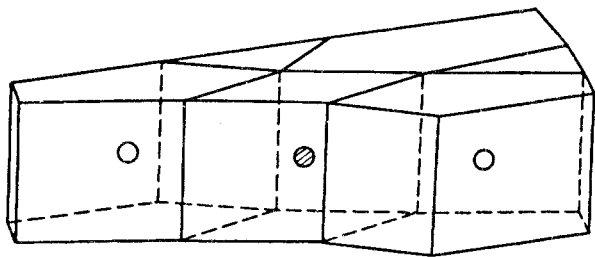


Рис.3. Фрагмент структуры тетрагональной натрий-вольфрамовой бронзы. Ионы натрия  $\circ$  – в пятиугольных каналах,  $\otimes$  – в четырехугольных каналах. Вершины заняты ионами вольфрама, а на серединах всех ребер расположены ионы кислорода

Спиновые флуктуации в  $5d$ -зоне вольфрама являются скорее всего основным каналом спин-решеточной релаксации. Можно думать также, что флуктуации на соседних ионах скоррелированы антиферромагнитным образом, из-за эффектов  $d-p$ -гибридизации. Тогда сравнительно длинные времена  $T_1 \sim 1$  с для ядер во второй позиции легко объясняются взаимной компенсацией проникающей в них  $5d$ -спиновой плотности от симметрично расположенных ионов вольфрама. Подобная компенсация отсутствует для ядер в первой позиции с короткими временами релаксации. Тот факт, что в образце с  $x = 0, 2$  скорость релаксации для этих ядер насыщается уже при температурах порядка 40 К (рис.2), означает, что основной спектральный вес антиферромагнитных флуктуаций в образце сверхпроводящего состава сосредоточен на низких энергиях. Уместно заметить, что температурная зависимость скорости спин-решеточной релаксации  $T_1^{-1}$  для образца с  $x = 0, 2$  напоминает аналогичную зависимость для ВТСП-систем, например, на ядрах меди в лантан-стронциевой керамике [6]. Что касается температурной зависимости  $T_1^{-1}$  для образца с  $x = 0, 4$ , то она также отличается от закона Корринги (рис.2), хотя это несоответствие не является столь сильным, как в образце с  $x = 0, 2$ . Скорость релаксации  $T_1^{-1}$  ( $x = 0, 4$ ) остается растущей функцией от температуры вплоть до 100 К. В принципе некоторое непостоянство наклона  $dT_1^{-1}/dT$  наблюдалось в металлах и ранее, в частности в системах со структурой A-15 [7], и это обычно связывалось с наличием тонкой структуры в плотности электронных состояний вблизи уровня Ферми. На рис.2 сплошной линией представлены результаты расчета скорости корринговской релаксации с модельной плотностью состояний с локальным провалом шириной  $2\Delta = 300$  К в окрестности фермиевского уровня:

$$N(\epsilon) = \begin{cases} N_0 & \text{при } |\epsilon| > \Delta \\ N_0/2 & \text{при } |\epsilon| < \Delta \end{cases} . \quad (1)$$

Разумеется, этот расчет является лишь иллюстрацией того, что нелинейность  $T_1^{-1}(T)$  в образце с  $x = 0,4$  в принципе может быть обусловлена вариацией плотности состояний в энергетическом интервале порядка 0,03 эВ. В то же время очевидно, что аналогичная подгонка результатов для  $T_1^{-1}(T)$  в сверхпроводящем образце с  $x = 0,2$  совершенно лишена смысла, так как при этом пришлось бы допустить нереальные вариации плотности состояний в очень узком интервале энергий порядка  $10^{-3}$  эВ, чтобы описать насыщение скорости релаксации уже при 50 К. Поэтому аномальное поведение  $T_1^{-1}(T)$  в образце с  $x = 0,2$  скорее всего имеет многочастичную корреляционную природу, как обсуждалось выше.

Таким образом, представленные данные свидетельствуют о наличии в образце  $\text{Na}_x\text{WO}_3$  сверхпроводящего состава низкочастотных спиновых флуктуаций антиферромагнитного характера, которые, по-видимому, являются характерным атрибутом оксидных сверхпроводников. В этом смысле натрий-вольфрамовые бронзы могут быть отнесены к классу ВТСП-систем. Поскольку локальный момент на ионах вольфрама отсутствует, то в рассматриваемой системе эффективное межэлектронное отталкивание, ответственное за усиление антиферромагнитных корреляций, имеет, по-видимому, промежуточную величину по сравнению с шириной зоны. Вопрос о том, почему низкочастотные спиновые флуктуации усилены именно в области концентраций натрия  $x \sim 0,2$ , остается открытым. Возможно, это связано с тенденцией носителей тока к локализации при уменьшении содержания натрия [8]; при этом естественно ожидать усиления межэлектронных корреляций.

- 
1. H.R.Shanks, Sol. St. Comm. **15**, 753 (1974).
  2. И.А.Гарифуллин, Н.Н.Гарифьянов, В.Ю.Марамзин, Г.Г.Халиуллин, Письма в ЖЭТФ **54**, 380 (1991).
  3. I.A.Garifullin, N.N.Garif'yanov, V.Yu.Maramzin, and G.G.Khalilullin, Sol. St. Comm. **85**, 1001 (1993).
  4. T.A.Ramanarayanan, and W.L.Worrell, J.Electrochem. Soc. Solid State and Technology **121**, 1530 (1974).
  5. A.Magneli, Ark. Kem. **1**, 213 (1949).
  6. Y.Kitaoka et al. Proc. of the 19-th Intern. Conf. on Low Temperature Physics, Brighton, UK (1990).
  7. M.Veger, and I.Goldberg, Sol. St. Phys. **28**, 2 (1973).
  8. N.F.Mott, Philos Mag. **35**, 111 (1977).